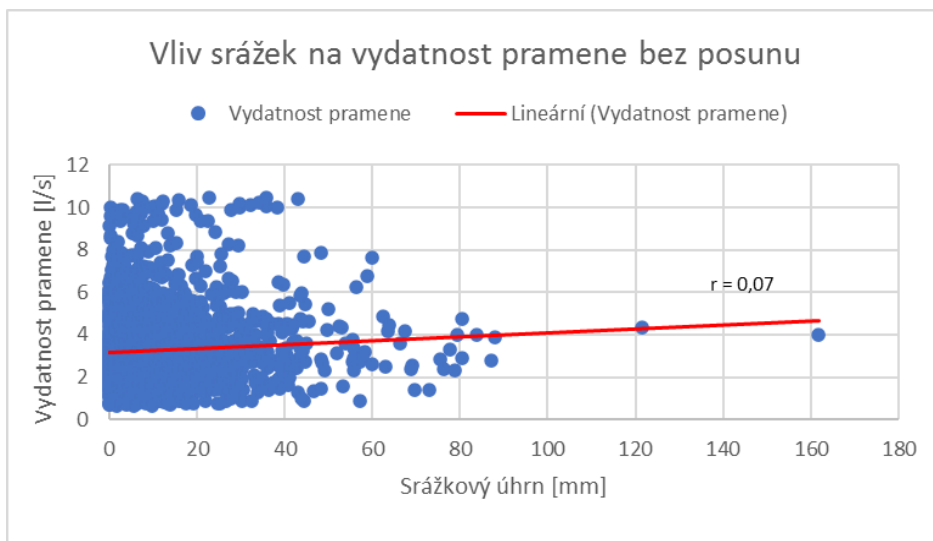
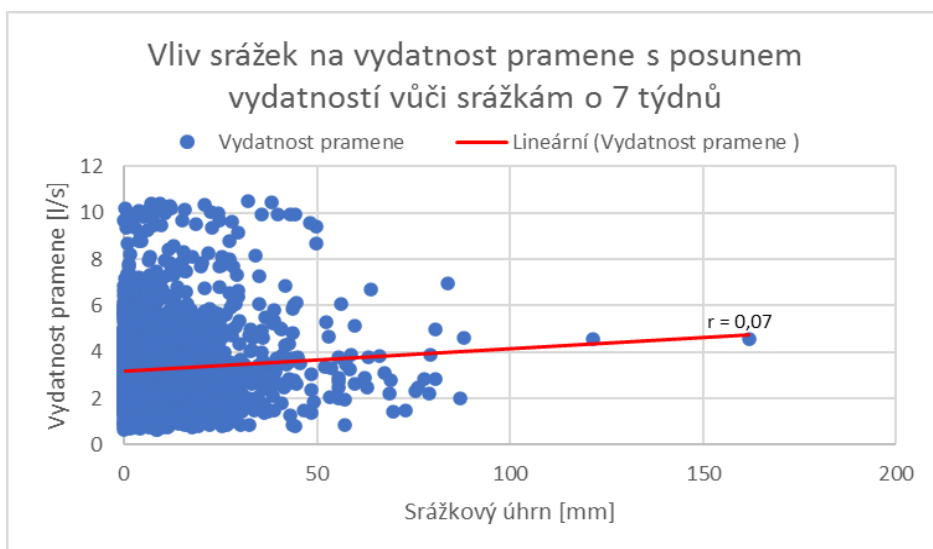


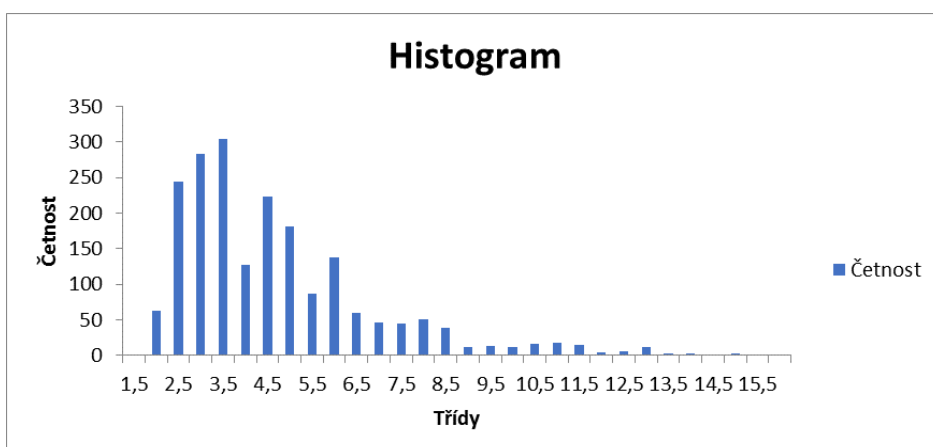
Příloha 1: Graf vlivu srážek na vydatnost pramene PP0427 bez posunu



Příloha 2: Graf vlivu srážek na vydatnost pramene PP0427 pro posun o 7 týdnů



Příloha 3: Histogram vydatností pramene PP0428



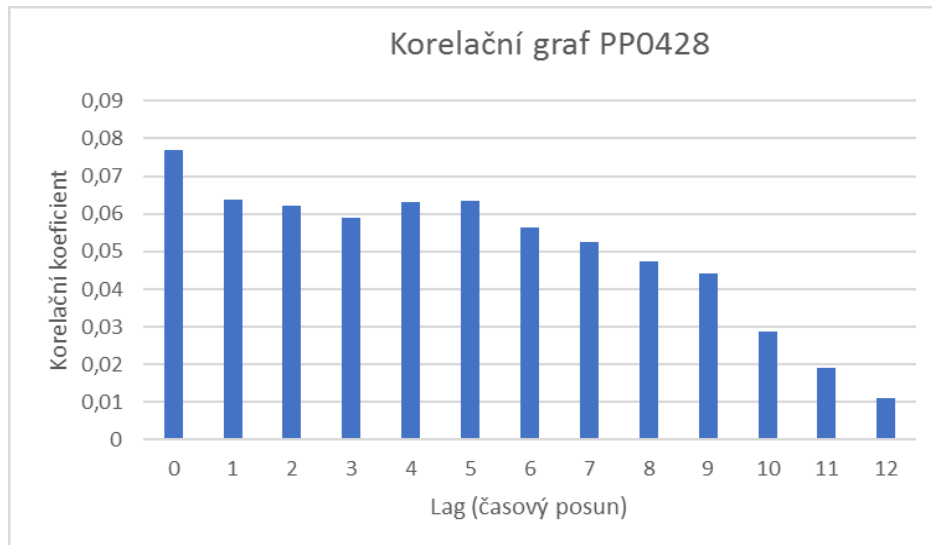
Příloha 4: Graf srážkových úhrnů ve sledovaném období PP0428



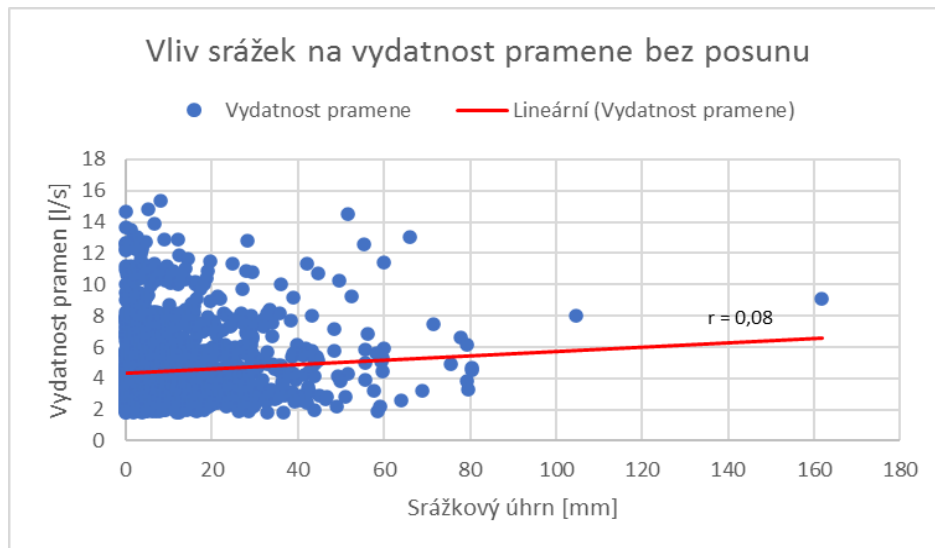
Příloha 5: Graf vydatností pramene PP0428 ve sledovaném období



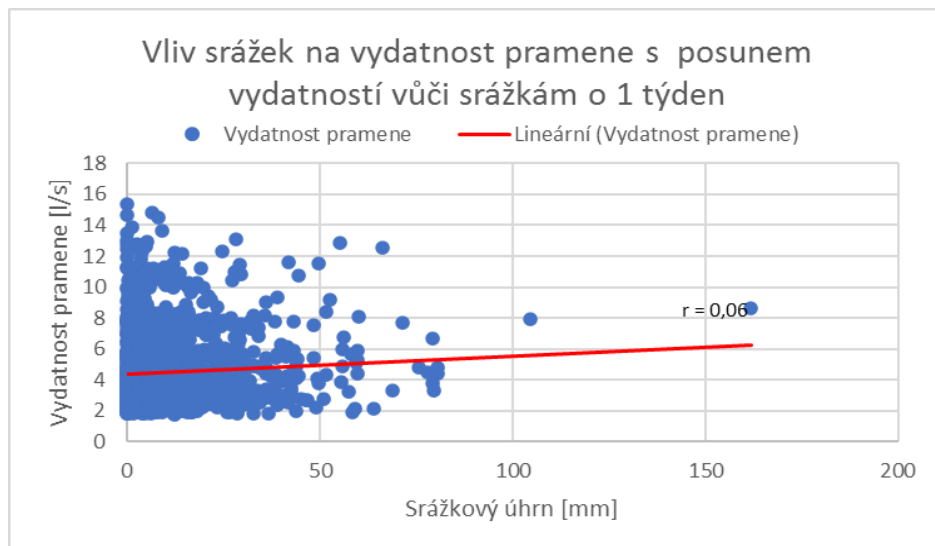
Příloha 6: Graf korelačních koeficientů pramene PP0428 pro n -týdenní posuny srážek a vydatností pramene



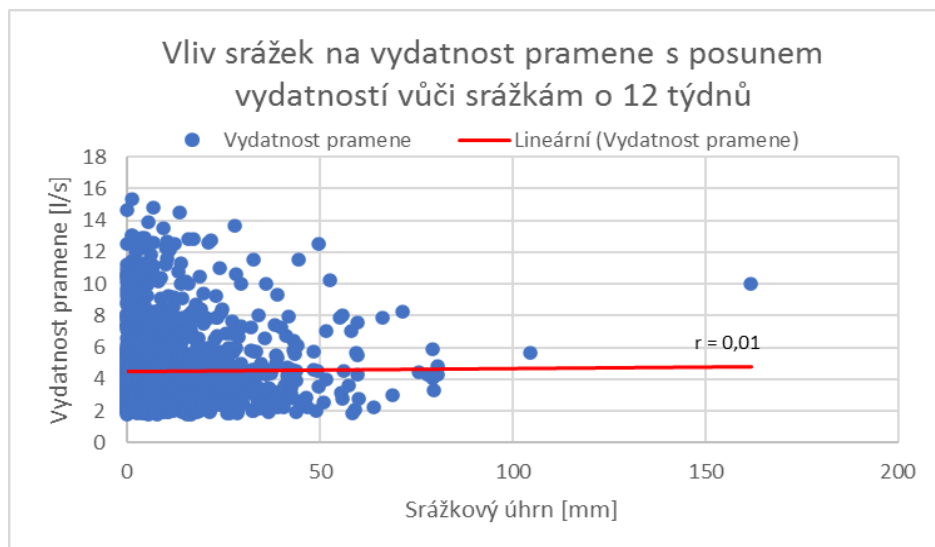
Příloha 7: Graf vlivu srážek na vydatnost pramene PP0428 bez posunu



Příloha 8: Graf vlivu srážek na vydatnost pramene PP0428 pro posun o 1 týden



Příloha 9: Graf vlivu srážek na vydatnost pramene PP0428 pro posun o 12 týdnů



Příloha 10: Kvantily denních srážkových úhrnů PP0428

Kvantil [%]	Denní úhrny [mm]
99	18,5
95	7,3
75	0,9
25	0
5	0
1	0

Příloha 11: Kvantily vydatností PP0428

Kvantil [%]	Vydatnost [l/s]
99	12,48
95	9,1
75	5,44
25	2,83
5	2,17
1	1,87

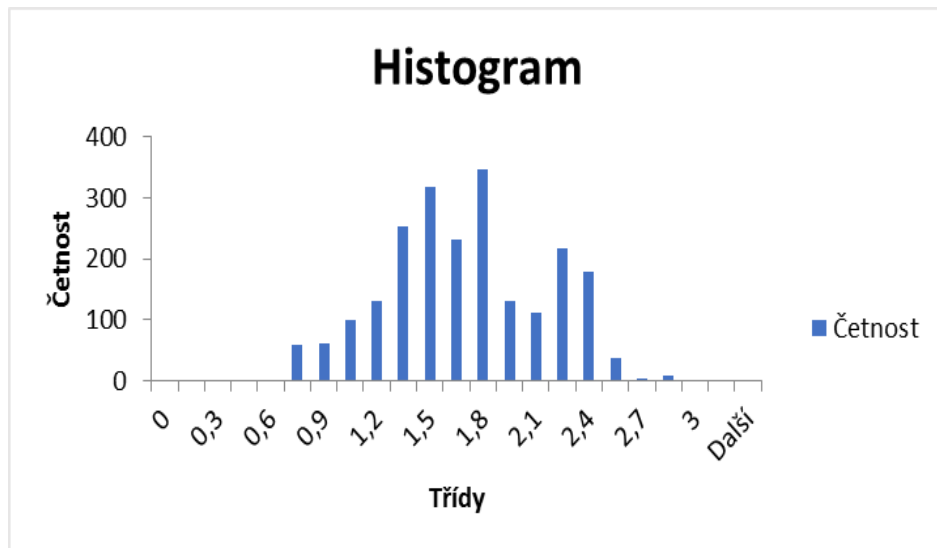
Příloha 12: Kvantily vydatností PP0906 (denní)

Kvantil [%]	Vydatnost [l/s]
99	2,49
95	2,33
75	1,97
25	1,29
5	0,89
1	0,7

Příloha 13: Kvantily denních srážkových úhrnů PP0906 (denní)

Kvantil [%]	Denní úhrny [mm]
99	18,5
95	7,6
75	0,7
25	0
5	0
1	0

Příloha 14: Histogram vydatností pramene PP0906 (denní)



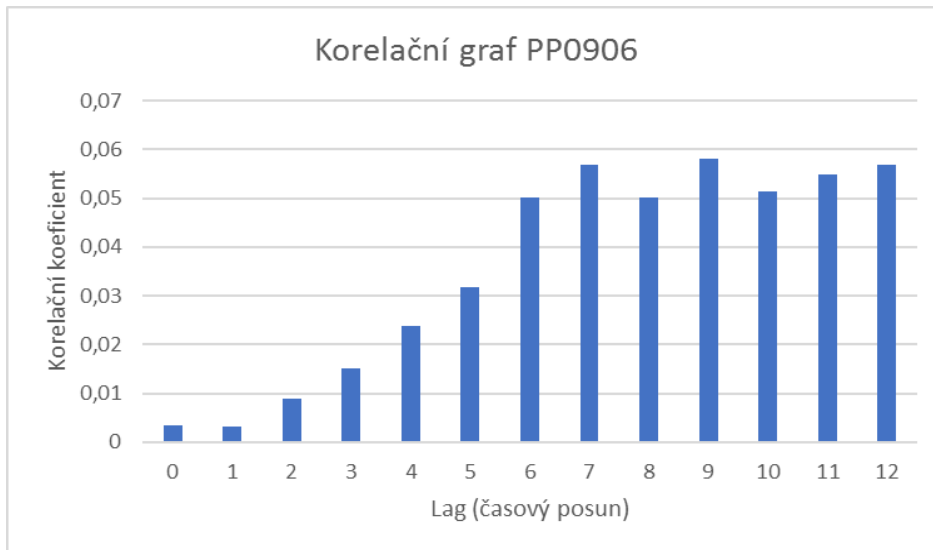
Příloha 15: Graf vydatností pramene PP0906 (denní) ve sledovaném období



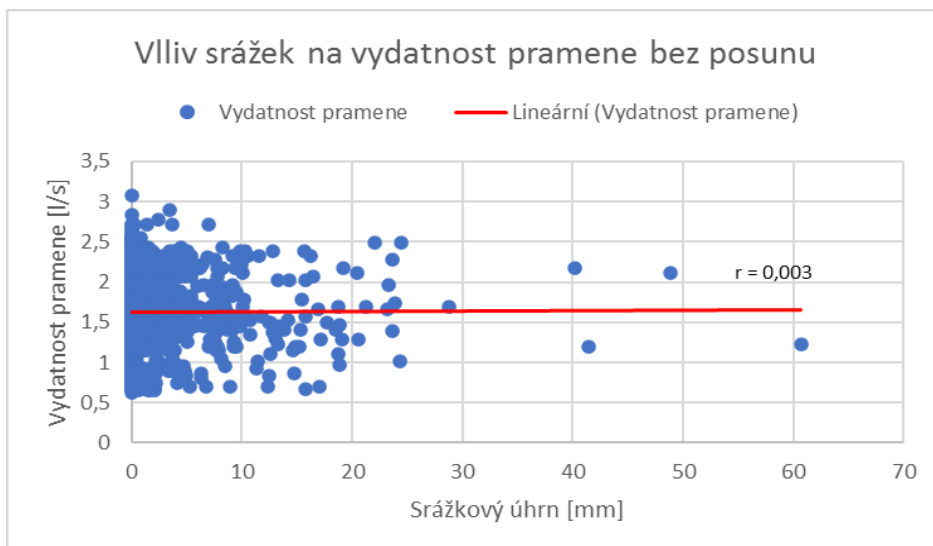
Příloha 16: Graf srážkových úhrnů ve sledovaném období PP0906 (denní)



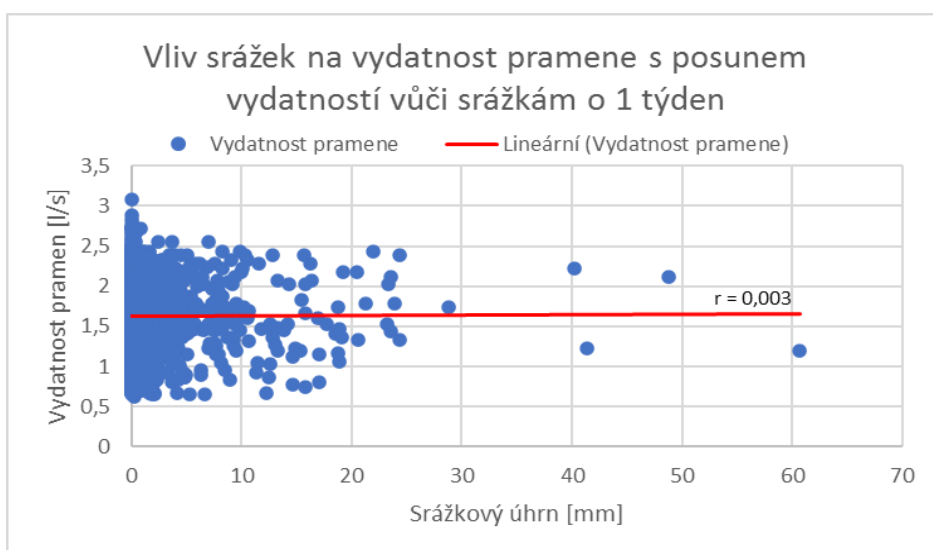
Příloha 17: Graf korelačních koeficientů pramene PP0906 (denní) pro n -týdenní posuny srážek a vydatností pramene



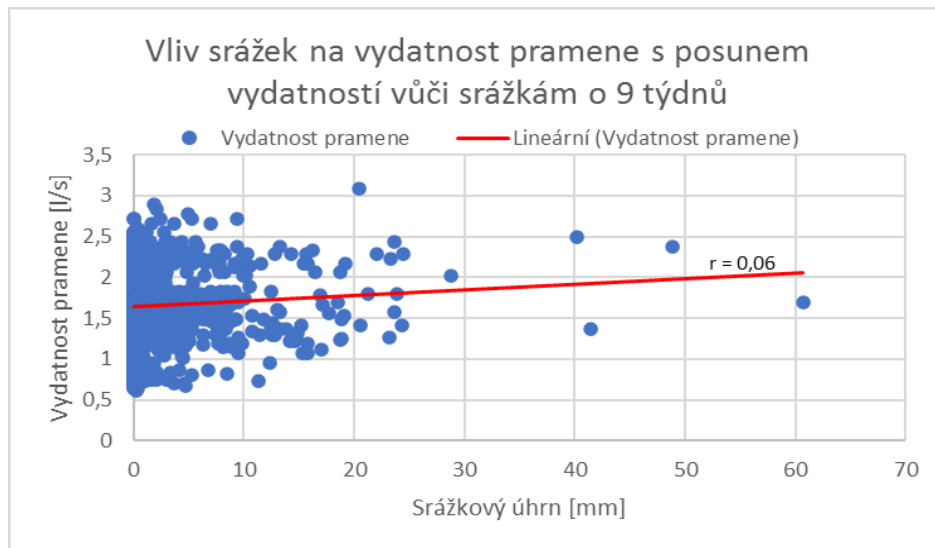
Příloha 18: Graf vlivu srážek na vydatnost pramene PP0906 (denní) bez posunu



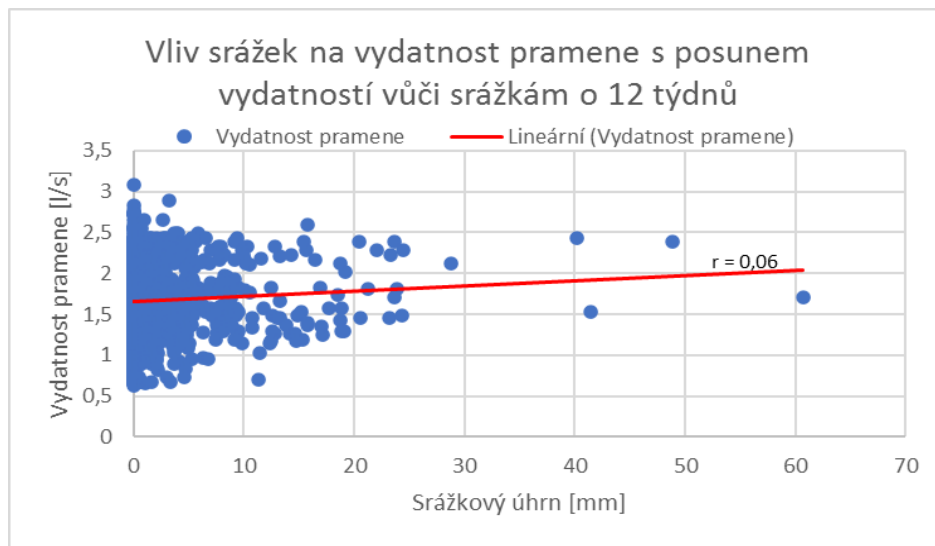
Příloha 19: Graf vlivu srážek na vydatnost pramene PP0906 (denní) pro posun o 1 týden



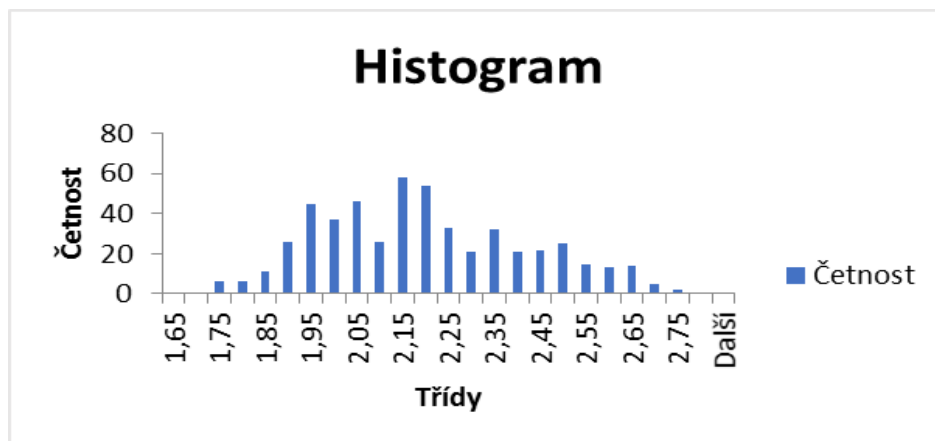
Příloha 20: Graf vlivu srážek na vydatnost pramene PP0906 (denní) pro posun o 9 týdnů



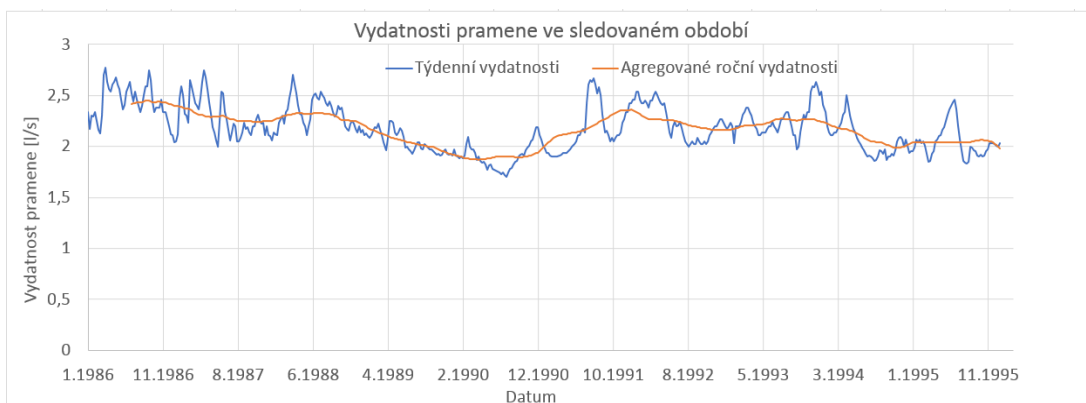
Příloha 21: Graf vlivu srážek na vydatnost pramene PP0906 (denní) pro posun o 12 týdnů



Příloha 22: Histogram vydatností pramene PP0906 (týdenní)



Příloha 23: Graf vydatností pramene PP0906 (týdenní) ve sledovaném období



Příloha 24: Graf srážkových úhrnů ve sledovaném období PP0906 (týdenní)



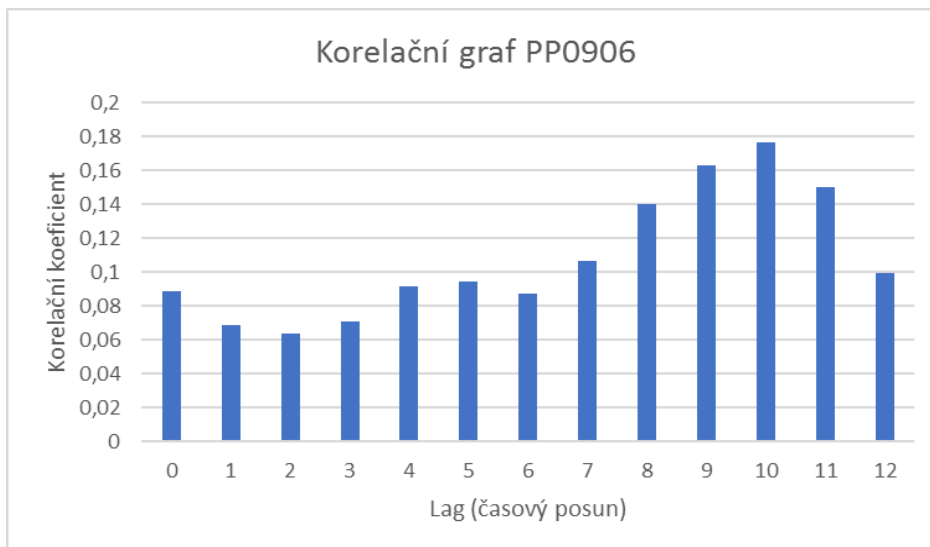
Příloha 25: Kvantily vydatností PP0906 (týdenní)

Kvantil [%]	Vydatnost [l/s]
99	2,68
95	2,58
75	2,34
25	2
5	1,86
1	1,7419

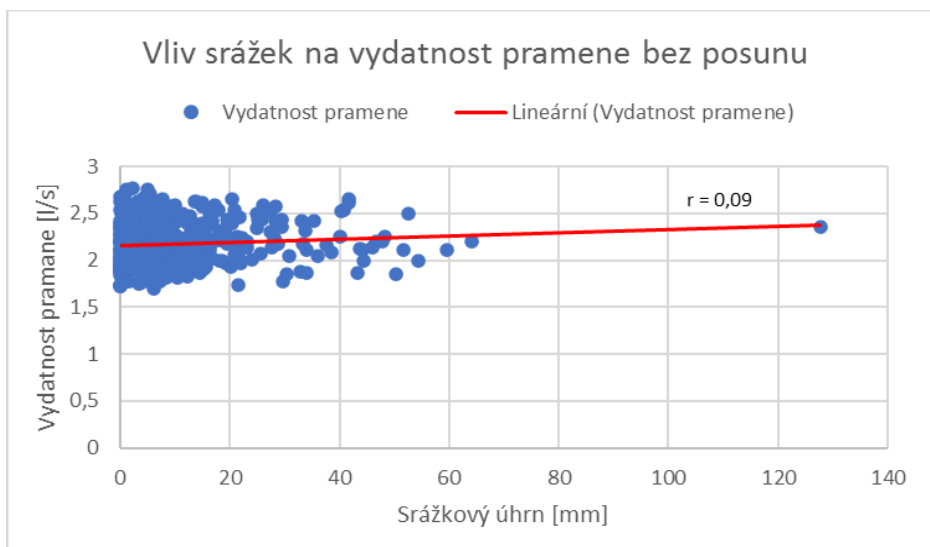
Příloha 26: Kvantily denních srážkových úhrnů ve sledovaném období pramene PP0906 (týdenní)

Kvantil [%]	Denní úhrny [mm]
99	18,6
95	6,7
75	0,9
25	0
5	0
1	0

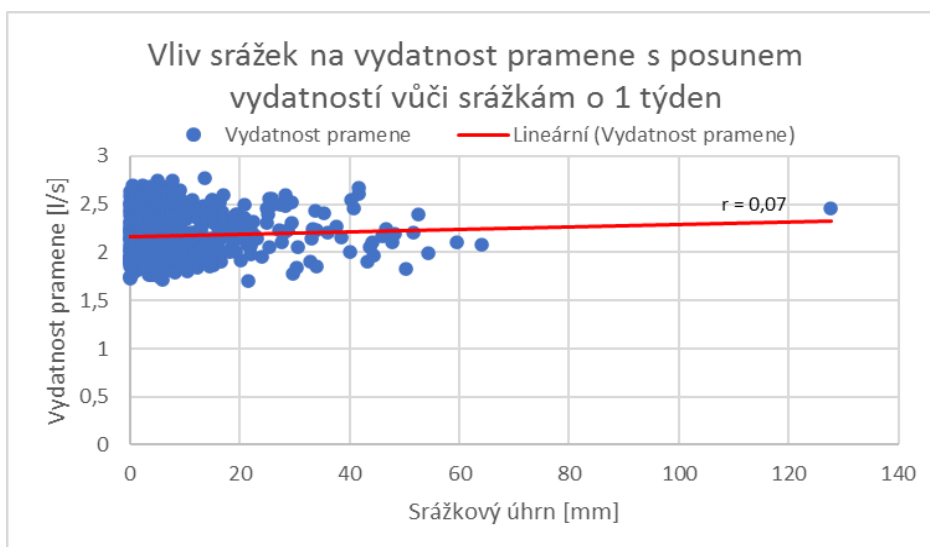
Příloha 27: Graf korelačních koeficientů pramene PP0906 (týdenní) pro n -týdenní posuny srážek a vydatností pramene



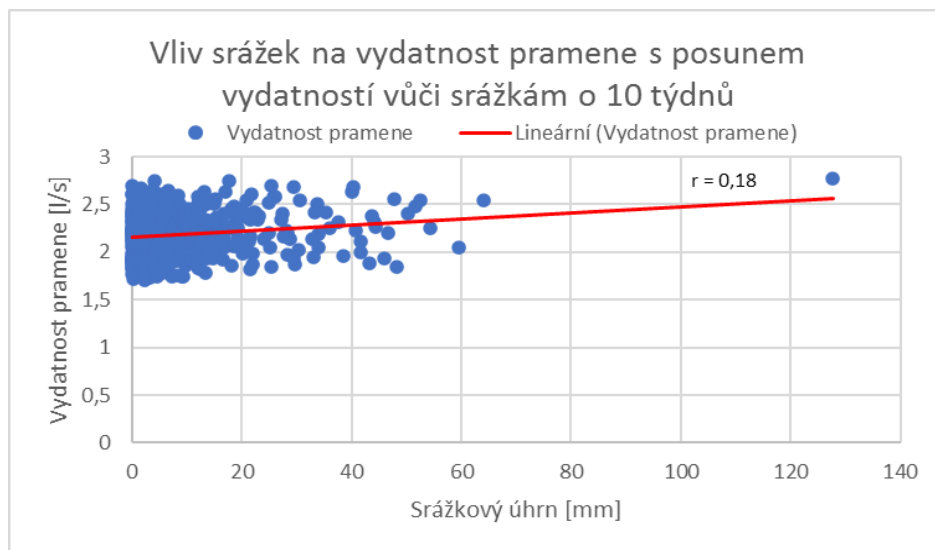
Příloha 28: Graf vlivu srážek na vydatnost pramene PP0906 (týdenní) bez posunu



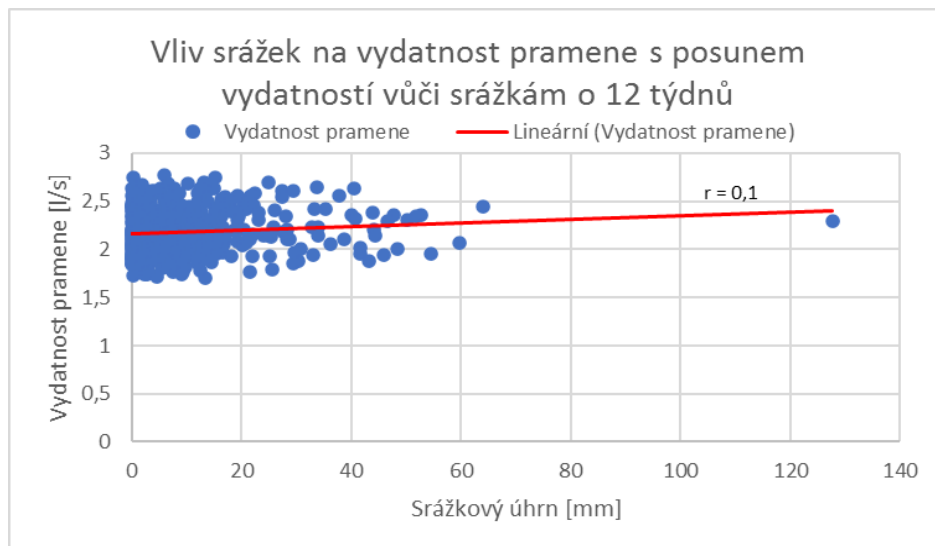
Příloha 29: Graf vlivu srážek na vydatnost pramene PP0906 (týdenní) pro posun o 1 týden



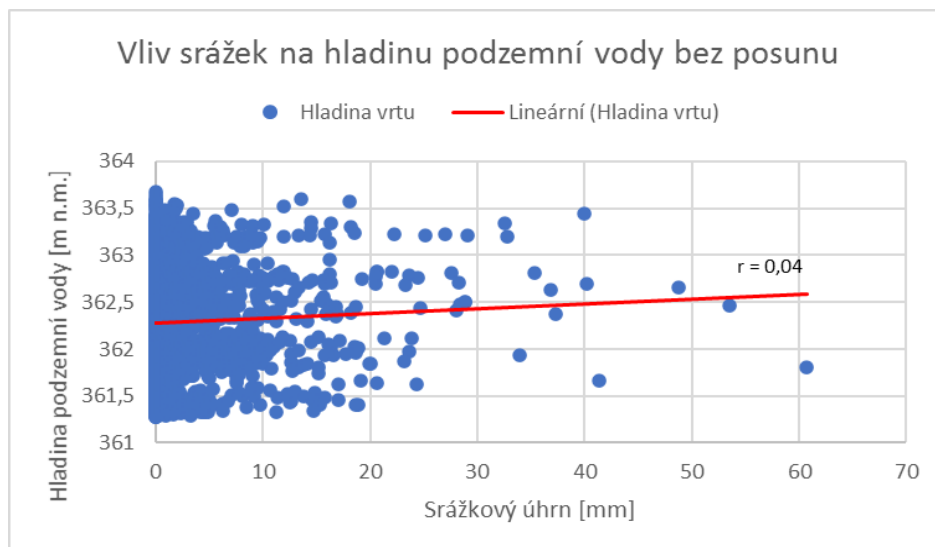
Příloha 30: Graf vlivu srážek na vydatnost pramene PP0906 (týdenní) pro posun o 10 týdnů



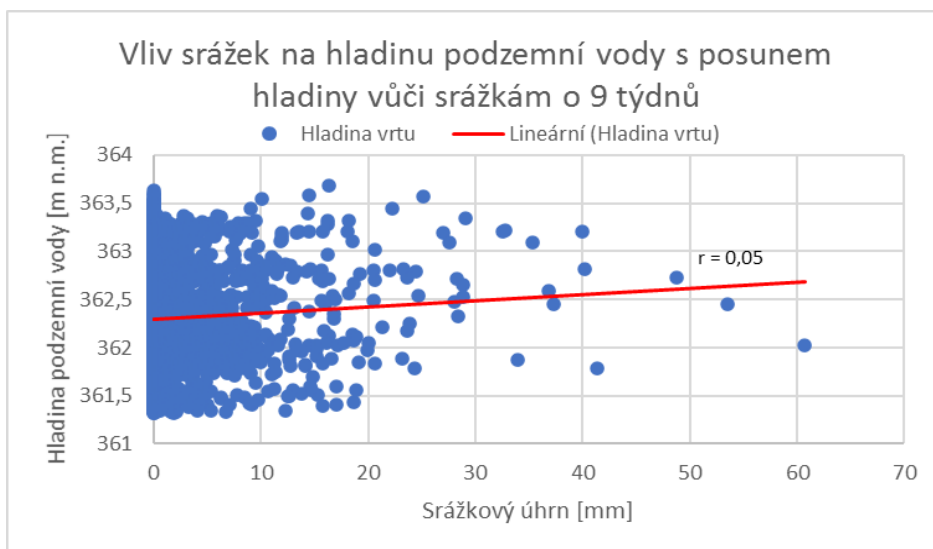
Příloha 31: Graf vlivu srážek na vydatnost pramene PP0906 (týdenní) pro posun o 12 týdnů



Příloha 32: Graf vlivu srážek na hladinu podzemní vody ve vrtu VP1728 bez posunu



Příloha 33: Graf vlivu srážek na hladinu podzemní vody ve vrtu VP1728 pro posun o 9 týdnů



Příloha 34: Mezní hodnoty P-T indexu pro týdenní agregaci pro oblast Praha-Ruzyně

Roky	Zvýšené riziko <Q25%	vysoké riziko <Q15%	extrémní riziko <Q5%
1963–2020	0,25	0,09	0

Příloha 35: Mezní hodnoty P-T indexu pro čtyřtýdenní agregaci pro oblast Praha-Ruzyně

Roky	Zvýšené riziko <Q25%	vysoké riziko <Q15%	extrémní riziko <Q5%
1963–2020	2,44	1,82	1,05